

ОБЪЕДИНЕННЫЙ  
ИНСТИТУТ  
ЯДЕРНЫХ  
ИССЛЕДОВАНИЙ  
ДУБНА



СЗУЧ.13  
3-895

18/61-7

P13 - 7076

2239/2-73

В.П.Зрелов

ПРОСТОЙ МЕТОД (МЕТОД ДВОЙНЫХ ОТРАЖЕНИЙ)  
ИЗМЕРЕНИЯ СРЕДНЕЙ ЭНЕРГИИ ПРОТОНОВ  
ПО ИЗЛУЧЕНИЮ ВАВИЛОВА-ЧЕРЕНКОВА

**1973**

ЛАБОРАТОРИЯ ЯДЕРНЫХ ПРОБЛЕМ

P13 - 7076

В.П.Зрелов

ПРОСТОЙ МЕТОД (МЕТОД ДВОЙНЫХ ОТРАЖЕНИЙ)  
ИЗМЕРЕНИЯ СРЕДНЕЙ ЭНЕРГИИ ПРОТОНОВ  
ПО ИЗЛУЧЕНИЮ ВАВИЛОВА-ЧЕРЕНКОВА

*Направлено в Nuclear Instruments  
and Methods*

Объединенный институт  
ядерных исследований  
**БИБЛИОТЕКА**

В работах /1-5/ предложено и осуществлено несколько методов для точного измерения средней энергии протонов в коллимированных пучках от ускорителей в области энергий  $\approx 1$  Гэв с использованием излучения Вавилова-Черенкова. Однако всем этим методам присущ общий недостаток - их сложность.

В предлагаемом методе сохраняется высокая точность измерения энергии, полученная, например, в /3/, но достигается она более простым путем.

\* \* \*

Пусть коллинированный пучок тяжелых релятивистских частиц падает перпендикулярно грани III трехгранной призмы, имеющей абсолютный показатель преломления  $n_0$  для длины волны  $\lambda_0$  /рис. 1а/. При средней скорости частиц в пучке  $\beta_0 > n_0^{-1}$  в призме возникает конус излучения Вавилова-Черенкова с половиной угла при вершине  $\theta_0 = \arccos(n_0 \beta)$ .

Границы призмы I и II образуют с гранью III двугранные углы  $\alpha$  и  $\alpha_1$ , приблизительно равные углу излучения  $\theta_0$ . На эти грани нанесены зеркальные слои так, как показано на рис. 1б/пунктиром на рисунке показан профиль пучка частиц/.

Ход лучей через грань I призмы будет иметь вид, показанный на рис. 1а. Под углом  $r_1$  через эту грань выходит излучение от верхней части пучка без отражения, а под углом  $r_2$  - дважды отраженное последовательно от граней II и III. От нижней части пучка излучение выходит через грань II без отражения под углом  $r_1'$ , а под углом  $r_2'$  - дважды отраженное от граней I и III /на рисунке не показано/.

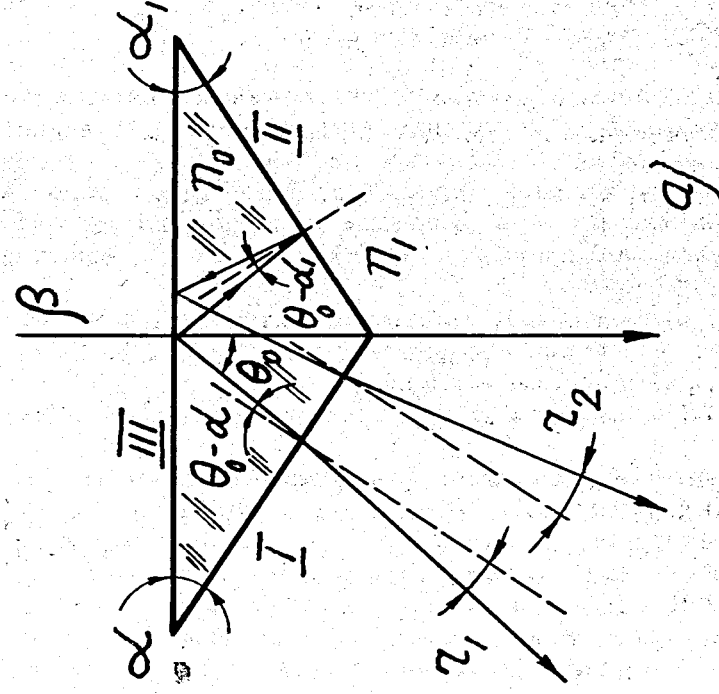
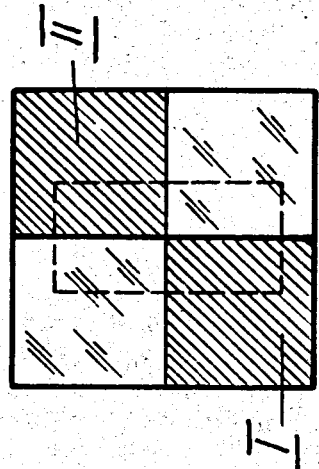


Рис. 1. Ход лучей в призме-радиаторе.



5)

Используя условия преломления излучения на грани I призмы-радиатора и условия отражения на гранях II и III, нетрудно получить основную формулу для определения угла  $\theta_0$  испускания излучения Вавилова-Черенкова:

$$\theta_0 = \alpha_1 \pm \arcsin \frac{1}{n'} \sqrt{\frac{\sin^2 \frac{r_1 + r_2}{2} - n_0'^2 \tan^2 \frac{r_1 + r_2}{2}}{\cos^2(\alpha_1 - \alpha) - \tan^2 \frac{r_1 + r_2}{2} \sin^2(\alpha_1 - \alpha)}},$$

/1/

где  $n' = \frac{n_0}{n_1}$  - относительный показатель преломле-

ния призмы, углы  $r_1$  и  $r_2$  в формуле /1/ отсчитываются от нормали к грани I, а знак перед корнем берется  $/+$ , если  $\theta_0 > \alpha_1$ , и знак  $/-$ , если  $\theta_0 < \alpha_1$ . Различить эти два случая можно легко по виду и относительному расположению изображений излучения Вавилова-Черенкова, полученных фотографическим способом. При  $\theta_0 > \alpha_1$  изображения прямого и дважды отраженного излучения имеют вид "собирающей" линзы, а при  $\theta_0 < \alpha_1$  - "рассевающей", как это показано на рис. 2 для случая регистрации правой /если смотреть по направлению движения частиц/ части конуса излучения.

При малых величинах углов  $(r_1 + r_2)$ ,  $(\alpha_1 - \alpha)$  и  $(\theta_0 - \alpha_1)$  формула /1/ принимает вид, удобный для оценок

$$\theta_0 \approx \alpha_1 \pm \frac{r_1 + r_2}{2n'}. \quad /2/$$

Для того, чтобы прямое и дважды отраженное излучение не перекрывались, должно выполняться условие

$$(r_1 + r_2) \approx (3 \div 4) \left\{ \sum_i \Delta \theta_i^2 \right\}^{1/2}, \quad /3/$$

где  $\Delta \theta_i$  - угловые расходимости конуса излучения за счет различных факторов /угловая расходимость частиц

в пучке, энергетическая неоднородность пучка, много-  
кратное рассеяние и замедление частиц в призме, диспер-  
сия радиатора/.

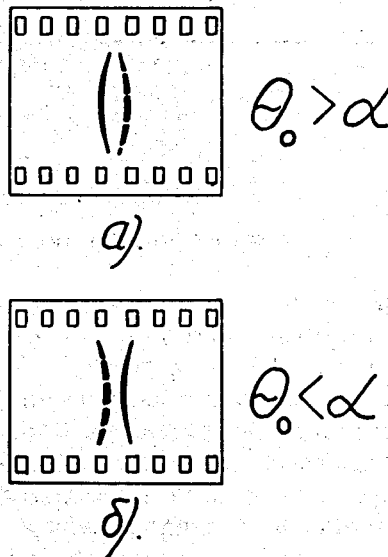


Рис. 2. Вид изображений излучения Вавилова-Черенкова /пунктиром показано дважды отраженное излучение, как более слабое/. а/ для случая  $\theta_0 > \alpha$ ; б/ для случая  $\theta_0 < \alpha$ .

\* \* \*

Одной из особенностей данного метода измерения энергии частиц является также и то, что неперпендикулярность направления частиц к грани III призмы-радиатора не вносит ошибку в определение угла  $\theta_0$ .

Как показывают расчеты, основная погрешность метода связана с ошибкой измерения углового смещения изображений  $\Delta(r_1 + r_2)$ . Суммарная ошибка измерения  $\theta_0$  /без учета ошибки измерения  $n_0(\lambda_0)$ / равна

$$\Delta\theta_0 = [(\Delta a_1)^2 + \{ \frac{\Delta(r_1 + r_2)}{2n'_0} \}^2]^{1/2}. \quad /4/$$

При  $\Delta a \ll \frac{\Delta(r_1 + r_2)}{2n'_0}$  соответствующая ошибка из-

мерения скорости частиц составит:

$$\Delta\beta = \frac{n_1\beta^2}{2} \sin(\alpha_1 \pm \frac{r_1 + r_2}{2n'_0}) \Delta(r_1 + r_2), \quad /5/$$

где знак  $/\pm$  соответственно берется в зависимости от того,  $\theta_0 > \alpha_1$ , или  $\theta_0 < \alpha_1$  /см. выше/.

Если  $n'_0 = 1,50$ ,  $\Delta a = 5'$ , а  $\Delta(r_1 + r_2)$  определена с точностью в одну минуту, то ошибка в скорости при  $\beta = 0,811$  составит  $\Delta\beta = 5.44 \cdot 10^{-6}$ . Такому  $\Delta\beta$  соответствует ошибка определения энергии протонов  $\Delta E = 0,205$  МэВ. Для уменьшения ошибки измерения угла  $\theta_0$  вследствие дисперсии материала радиатора излучение необходимо регистрировать в узком диапазоне длин волн  $\Delta\lambda_0$ , например, используя для этих целей интерференционные фильтры.

\* \* \*

Регистрация излучения, выходящего также и через грань II призмы-радиатора /как это показано на рис.3/ позволяет уменьшить ошибку измерения скорости в  $\sqrt{2}$  раз. Действительно, в этом случае измеряется угол  $2\theta_0 = \theta_1 + \theta_2$ , поэтому ошибки  $\Delta\theta_1$  и  $\Delta\theta_2$  связаны равенством

$$\Delta\theta_1 = \Delta\theta_2 + 2r_{\theta_1}\theta_2\sigma_{\theta_1}\sigma_{\theta_2}, \quad /6/$$

где  $r_{\theta_1}\theta_2$  - коэффициент корреляции  $|r_{\theta_1}\theta_2| < 1$ ,  $\sigma_{\theta_1}$  и  $\sigma_{\theta_2}$  - стандартные ошибки измерения углов  $\theta_1$  и  $\theta_2$ . В силу линейной зависимости  $\theta_1$  и  $\theta_2$  коэффициент  $r_{\theta_1}\theta_2 = -1$ , поэтому второй член формулы можно не учитывать и считать /без опасения завышения ошибок измерений/, что  $\Delta\theta_1 = \Delta\theta_2$ , а суммарная ошибка определения угла  $\theta_0$  из измерений  $\theta_1$  и  $\theta_2$  будет  $\Delta\theta_0 = \sqrt{2/2}\Delta\theta_1 = 0,71\Delta\theta_1$ .

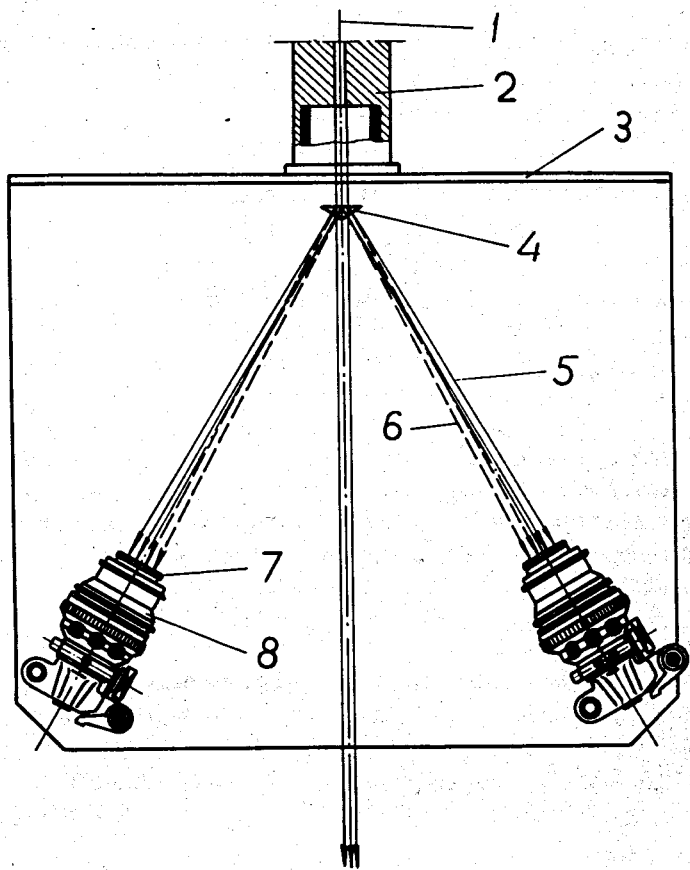


Рис. 3. Схема опыта для измерения энергии двумя фотоаппаратами: 1 - пучок; 2 - коллиматор; 3 - опорная пли-та; 4 - призма-радиатор; 5 - излучение Вавилова-Черен-кова "прямое"; 6 - излучение дважды отраженное; 7 - интерференционный фильтр; 8 - объектив, настроенный на бесконечность.

\* \* \*

Независимое определение угла излучения  $\theta_0$  при использовании призмы-радиатора может быть осуществлено путем измерения углов  $\psi_1$  и  $\psi_2$  /  $\psi'_1$  и  $\psi'_2$  / между направлением излучения, вышедшего через грани I, II /как прямого, так и дважды отраженного/ и отсчитываемых соответственно от граней II и I /рис.4/.

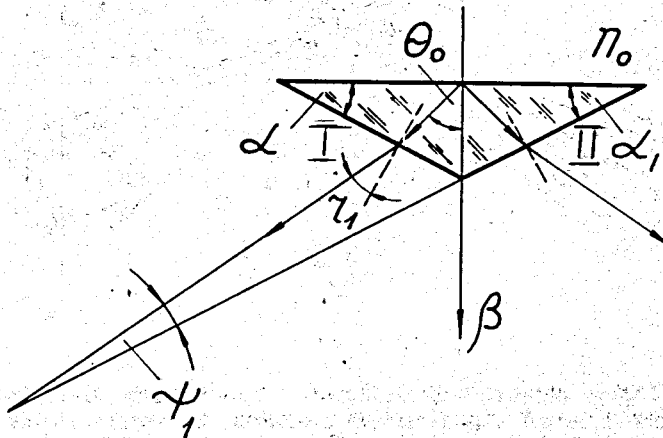


Рис. 4. Схема измерения углов  $\psi_1$  и  $\psi_2$ .

При этом углы  $r_1$  и  $r_2$ , входящие в формулу /1/, связаны с углами  $\psi_1$  и  $\psi_2$  соотношениями /для  $\theta_0 > a_1$ /:

$$\psi_1 = \frac{\pi}{2} - (r_1 + a + a_1); \quad \psi_2 = \frac{\pi}{2} - (a + a_1 - r_2).$$

/для  $\theta_0 < a_1$  знаки  $r_1$  и  $r_2$  - обратные/.

Для проведения таких измерений необходимо дополнитель-но использовать две оптические системы нанесения ре-перных рисок, определяющих положение граней I и II призмы, подобно тому, как это было применено в моно-хроматическом методе /<sup>3</sup>/ /рис. 5/.

В заключение следует отметить, что, по существу, основная идея предложенного выше метода использова-лась частично, ранее в так называемом монохроматиче-ском способе /<sup>3</sup>/ измерения энергии протонов по излуче-

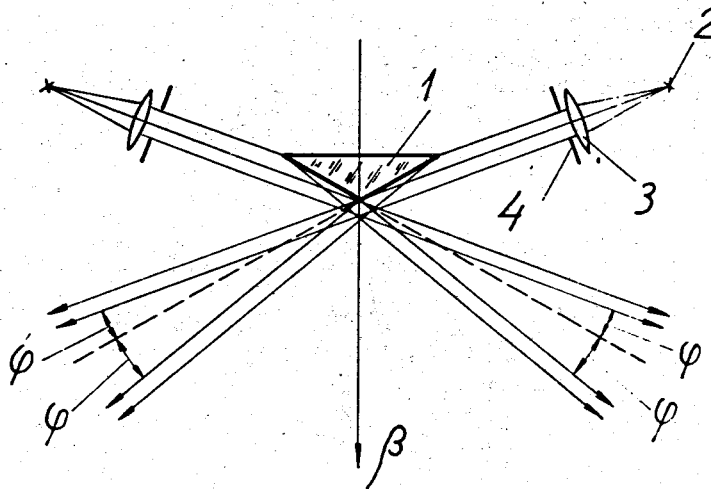


Рис. 5. Схема нанесения реперных рисок для определения положения граней призмы-радиатора: 1 - призма-радиатор; 2 - источник света; 3 - объектив; 4 - щель.

нию Вавилова-Черенкова. Только там отражение излучения использовалось для вспомогательной цели - определения угла между поверхностью интерференционных фильтров и плоскопараллельным радиатором /рис. 6/. Если же угол  $\alpha$  точно измерить заранее, то это позволит повысить точность измерения угла выхода излучения из радиатора.

Из рис. 6 следует, что угол между направлением излучения Вавилова-Черенкова, вышедшем из радиатора /1/, прямо, и направлением излучения /4/, испытавшего отражение от зеркала /2/, связан с углами  $\gamma$  и  $\alpha$  простым соотношением

$$\bar{r} = \frac{r_1 + r_2}{2} = \alpha - \frac{\gamma}{2}. \quad /6/$$

При ошибке  $\Delta \alpha \ll \Delta \gamma$  ошибка  $\Delta \bar{r} \approx 1/2 \Delta \gamma$ , что позволяет уменьшить ошибку определения угла  $\bar{r}$  даже при использовании одного фотоаппарата примерно вдвое.

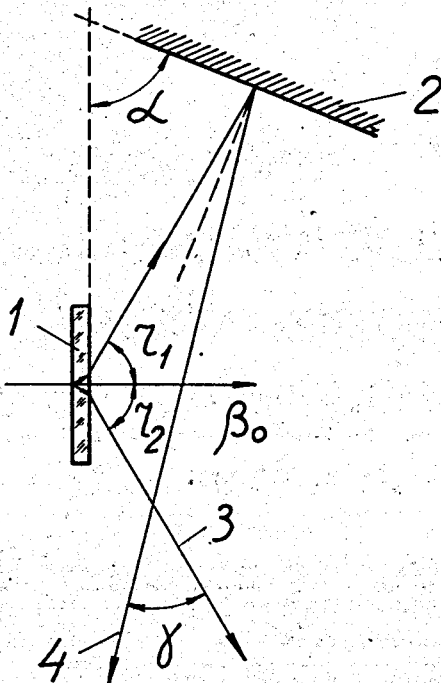


Рис. 6. Ход лучей в монохроматическом методе: 1 - плоско-параллельный радиатор; 2 - зеркало; 3 - "прямое" излучение; 4 - "отраженное" излучение.

#### Литература

1. R.L.Mather. Phys.Rev., 84, 181, 1951.
2. В.П.Зрелов. ПТЭ, №3, 100 /1965/.
3. V.P.Zrelov, M.A.Musin, P.Pavlović, P.Šulek, R.Janik. Nucl.Instr.Meth., v. 103, 261, 1972.
4. V.P.Zrelov, P.Pavlović, P.Šulek. Nucl.Instr.Meth., v. 105, 109, 1972.
5. В.П.Зрелов, П.Павлович, П.Шулек. Препринт ОИЯИ, Р13-5866, Дубна, 1971. Nucl.Instr.Meth., v. 107, 279, 1973.

Рукопись поступила в издательский отдел  
13 апреля 1973 года.